

大学物理 B(1)

期中考试：闭卷

时间：本周六(4月22日) 上午9:50~11:50

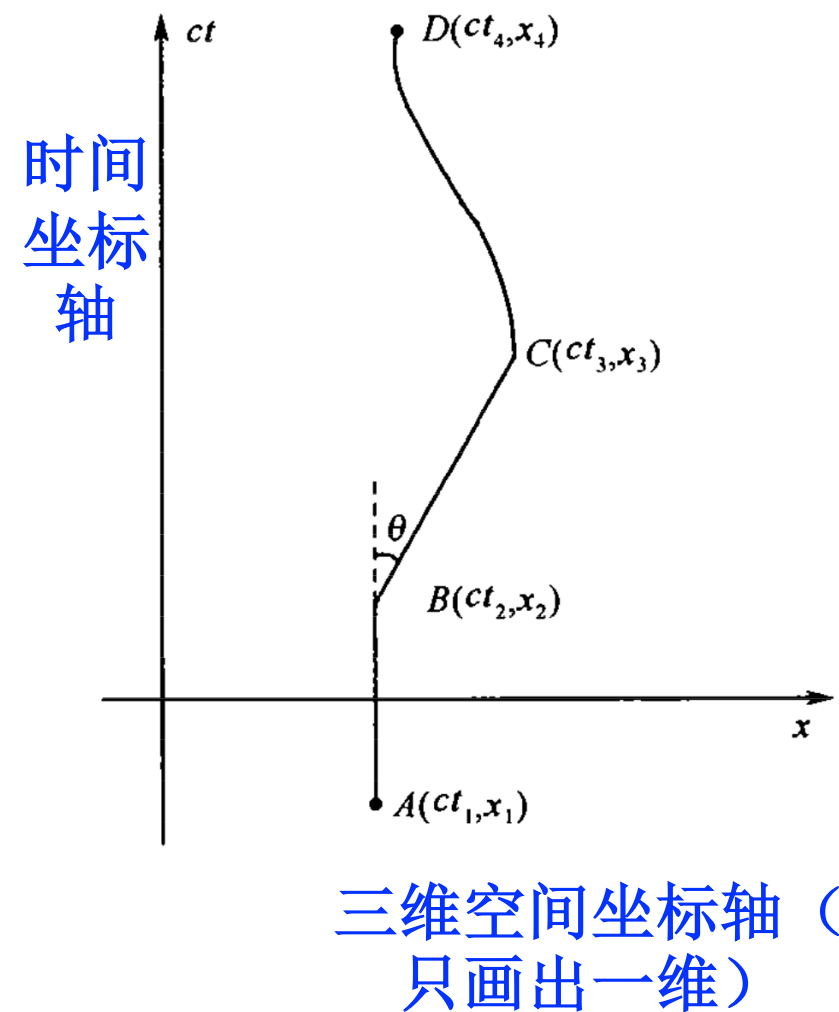
地点：明理楼112

闵可夫斯基时空图

经典时空观和狭义相对论时空观的本质区别在于：
前者认为时间和空间是相互独立的，后者则断定它们相互关联。

1908 年，闵可夫斯基在著名的“空间和时间”一文中，提出把时间也作为一维坐标，和三维空间的一个现象或事件必须同时用时间和位置来标记，亦即对应一组数 (ct, x, y, z) ，取时间参量为 ct 的目的是使它和位置 x 具有相同的量纲，因而可以取统一的长度单位。由全体数组的集合 $\{ct, x, y, z\}$ 构成的四维时空连续域。

闵可夫斯基建议的四维时空的时空图

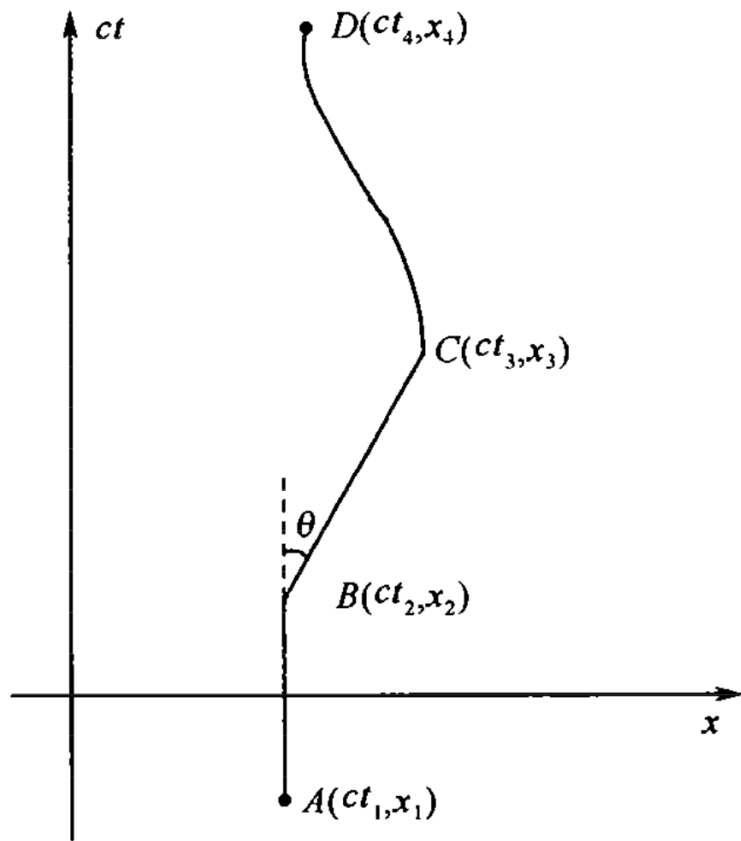


一维时间和三维空间构成闵可夫斯基四维时空也称作世界。

任意一个事件在时空图上表示为一个点： $P(ct, x, y, z)$ ，所以事件可以称为世界点；

随着时间的流逝，世界点在时空图上画出一条连续的轨迹，称为世界线。

时间
坐标
轴



三维空间坐标轴（
只画出一维）

❖ 静止于惯性系的粒子的世界线平行于时间轴的直线（AB段）

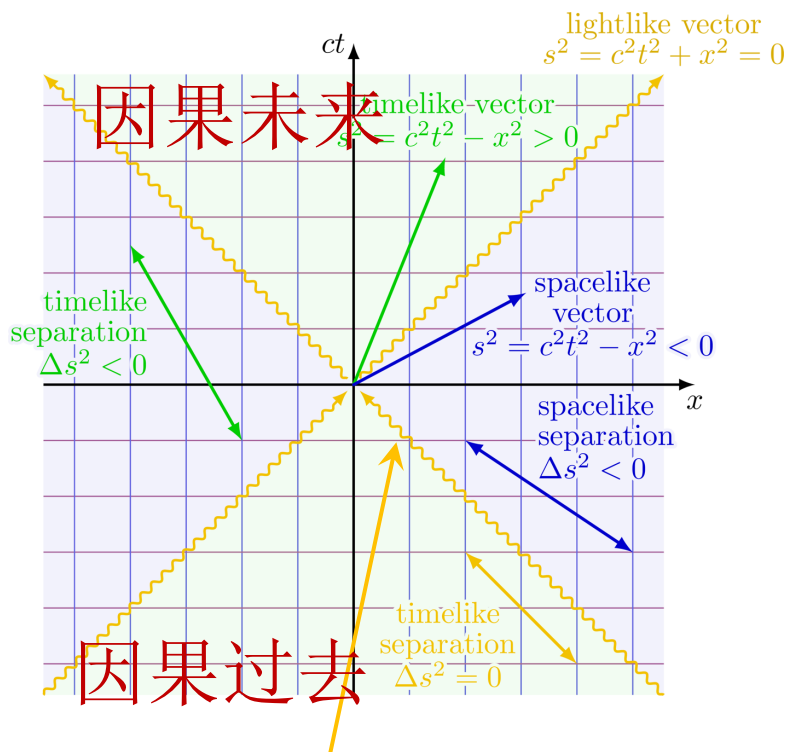
❖ 以匀速 u 做均匀直线运动的粒子的世界线是一条斜直线（BC段），与时间轴的夹角

$$\theta = \arctan(u/c)$$

由于粒子运动速度受光速极值限制， $\theta \leq \pi/4$ 。

❖ 光子的世界线夹角 $\theta = \pi/4$ 的斜直线；

❖ 加速运动粒子的世界线则是一条曲线（如：CD段）⁴



光锥： 原点处光子的世界线

类时间隔： 因果过去和因果未来

类空间隔： 无因果关联（左右两边白色区域）

类光间隔区： 光锥本身

根据时空间隔不变性和因果律：**光锥在四个时空中的位置与坐标变换无关！**

例如：某事件位于类时间隔区的因果未来，变换成其他惯性系后仍然是因果未来区

欧氏时空(x, y)到原点的
等距离面

$$l^2 = x^2 + y^2 = \text{const.}$$

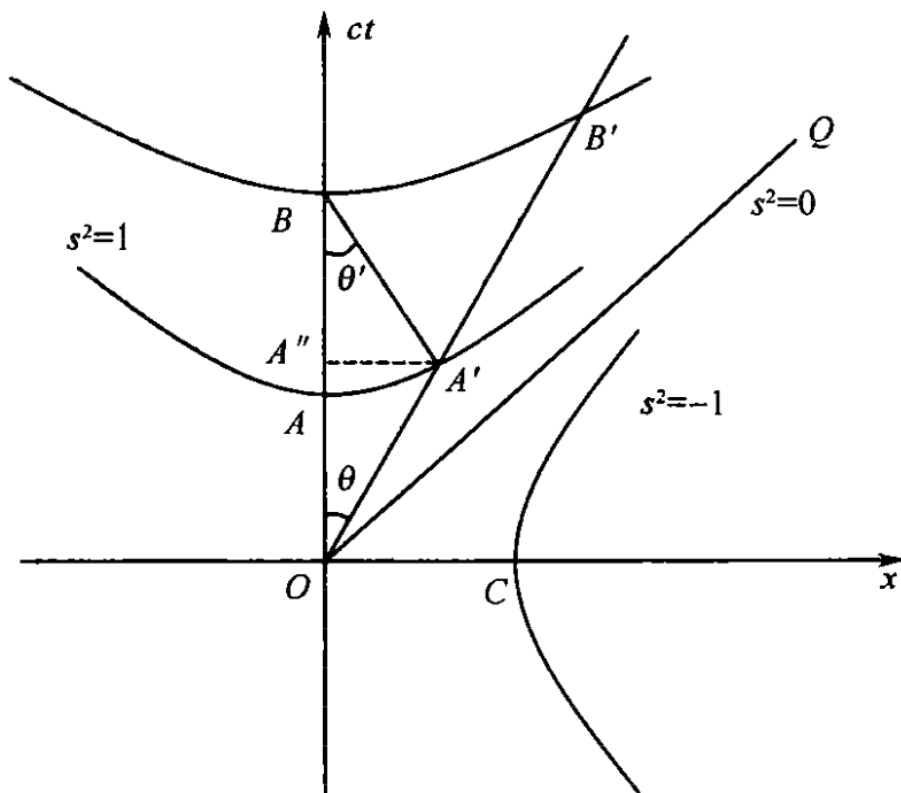
闵氏时空(ct, x)到原点
的等距离面

$$s^2 = c^2 t^2 - x^2 = \text{const.}$$

$$l = \sqrt{c^2 t^2 + x^2}$$

$$s = \sqrt{c^2 t^2 - x^2} = \sqrt{l^2 - 2x^2} = l\sqrt{1 - 2(x/l)^2}$$

$$s = l\sqrt{\cos 2\theta} = \frac{l}{\rho(\theta)}$$



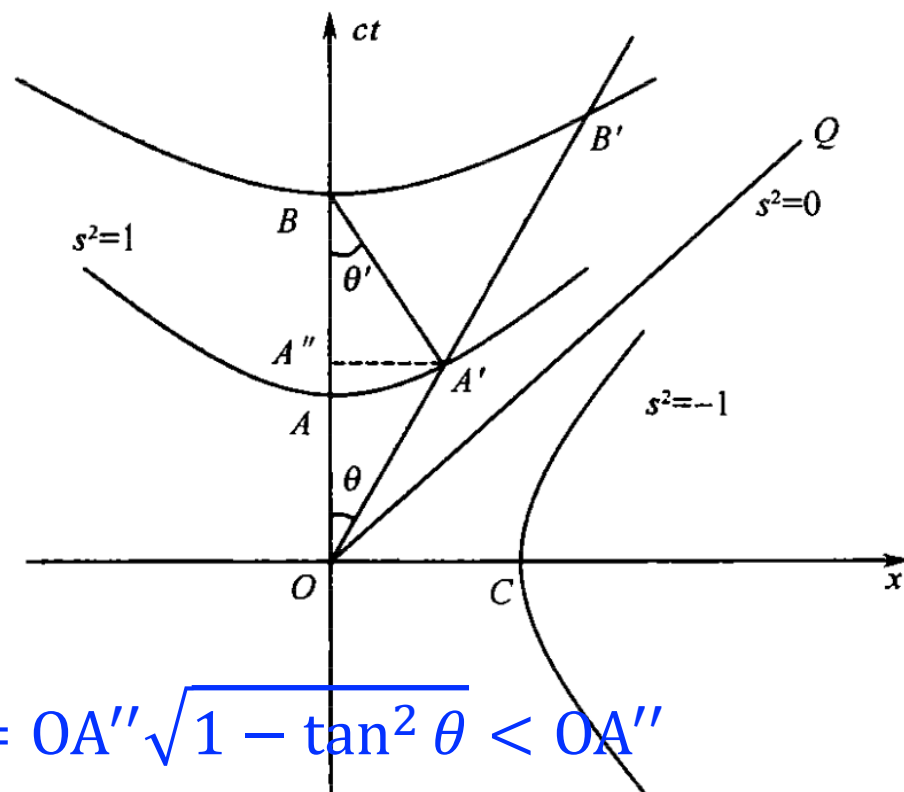
$$\rho(\theta) = \frac{1}{\sqrt{\cos 2\theta}} = 1 \text{ 单位}$$

$$s = \frac{l}{\rho(\theta)}$$

$$\rho(\theta) = \frac{1}{\sqrt{\cos 2\theta}}$$

位于时间轴 ($\theta = 0$): 闵氏长度等于欧氏长度 $s = l$.

位于光锥 ($\theta = 45^\circ$): 闵氏长度等于零 ($\rho(\theta) = \infty$).



$$s(OA') = \frac{OA'}{\rho(\theta)} = \frac{OA'' / \cos \theta}{1 / \sqrt{\cos 2\theta}} = OA'' \sqrt{1 - \tan^2 \theta} < OA''$$

$$s(A'B) = \frac{A'B}{\rho(\theta')} = \frac{A''B / \cos \theta'}{1 / \sqrt{\cos 2\theta'}} = A''B \sqrt{1 - \tan^2 \theta'} < A''B$$

$$s(OA'B) < OA'' + A''B = s(OB)$$

闵氏三角不等式: $s(OA'B) < s(OB)$

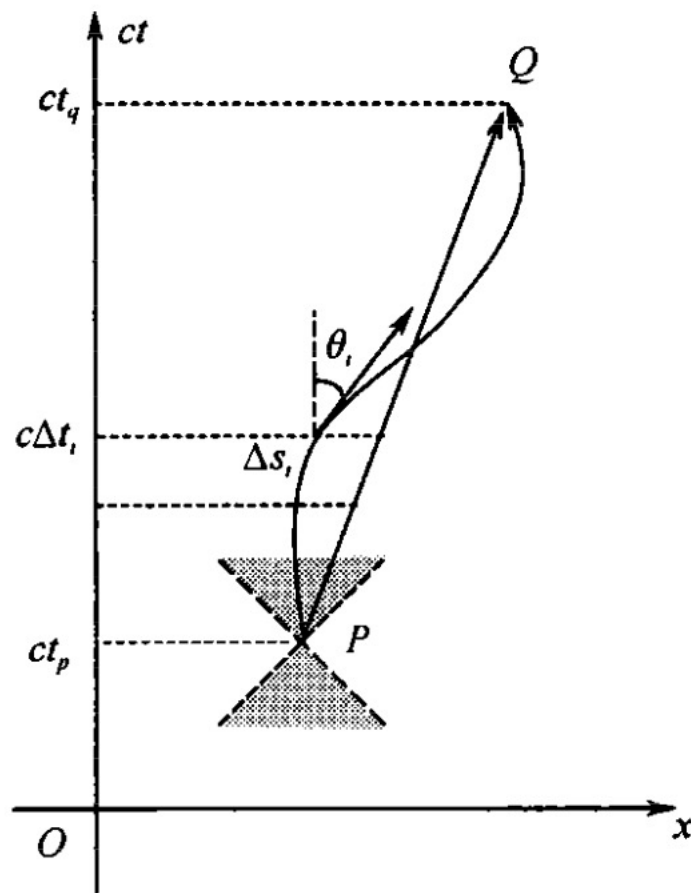
$$s(\text{曲线}) < s(\text{直线})$$

两个固定世界点之间的所有连线中, 直线的闵氏长度最大!

由于粒子的世界线由一系列因果事件连接而成，因此粒子的世界线的斜率要受光速极值原理的限制。

世界线对时间轴的斜率处处小于1 ($\theta_i < \pi/4$)，所以粒子在世界点 P 邻域的世界线总是处于 P 为顶点的光锥之内。

惯性系 S 中有一个运动速度为 u 的粒子，相邻无穷小世界点的类时世界线长为 ds 。引入一个随动坐标系 S' ，在 S' 中粒子总是静止的 $u' = 0$ 。



$$ds'^2 = c^2 dt'^2 \left(1 - \frac{u'^2}{c^2} \right) = c^2 dt'^2$$

间隔不变性

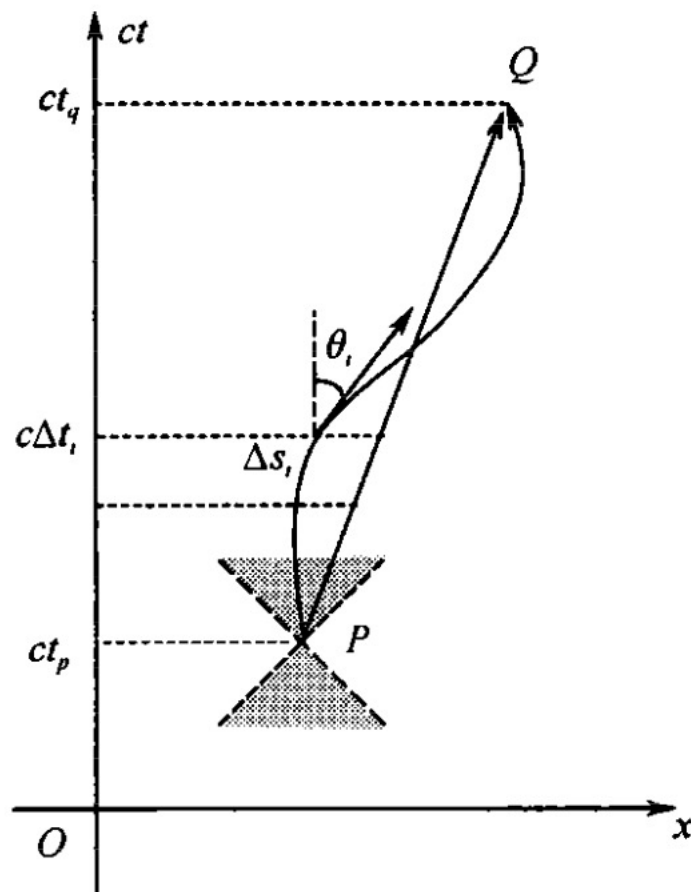
$$ds^2 = ds'^2$$

$$ds^2 = c^2 dt'^2$$

$$d\tau \equiv dt' = \frac{ds}{c} = dt \sqrt{1 - \frac{u^2}{c^2}}$$

如果有加速度：随动坐标系是非惯性系，可分解成无穷多惯性系

$$\Delta\tau_{QP} = \int_P^Q dt \sqrt{1 - \frac{u(t)^2}{c^2}}$$



需假定加速度对标准钟无影响，为实验所证实成立。

!

如果粒子相对于惯性系 S 做匀速直线运动，**速度 u 不变**，则 S' 系也是惯性系。这时，两事件 P 和 Q 的固有时

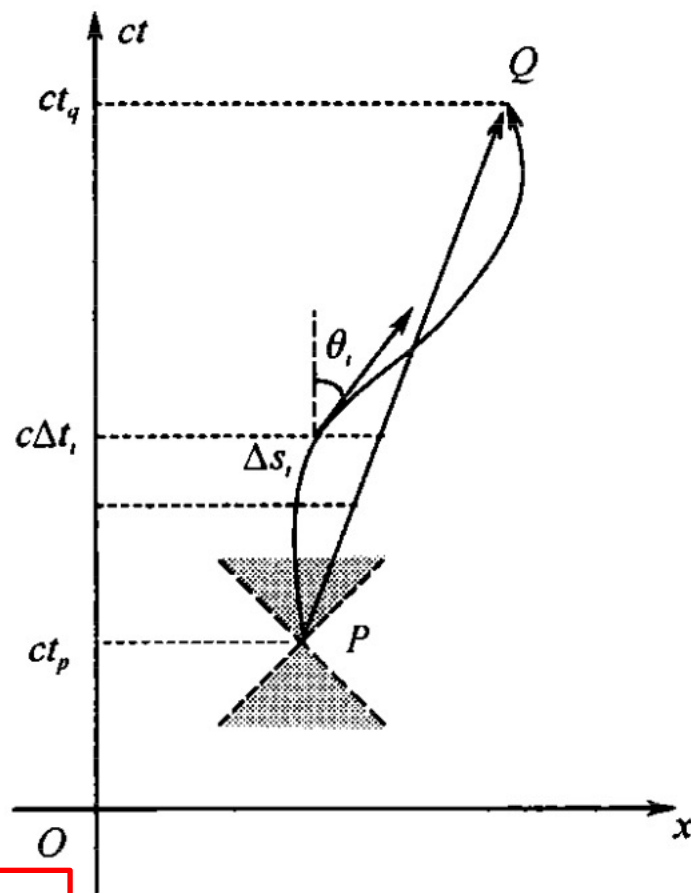
$$\Delta\tau = \frac{\Delta s}{c} = \Delta t \sqrt{1 - \frac{u^2}{c^2}} \quad \text{运动时间变慢}$$

粒子可以沿不同的世界线由 P 运动到 Q ，两个固定的世界点之间有无限多可能的世界线。在这些世界线中，**间隔最长是惯性运动的世界线：**

$$s(\text{曲线, 有加速度}) < s(\text{直线, 无加速度})$$

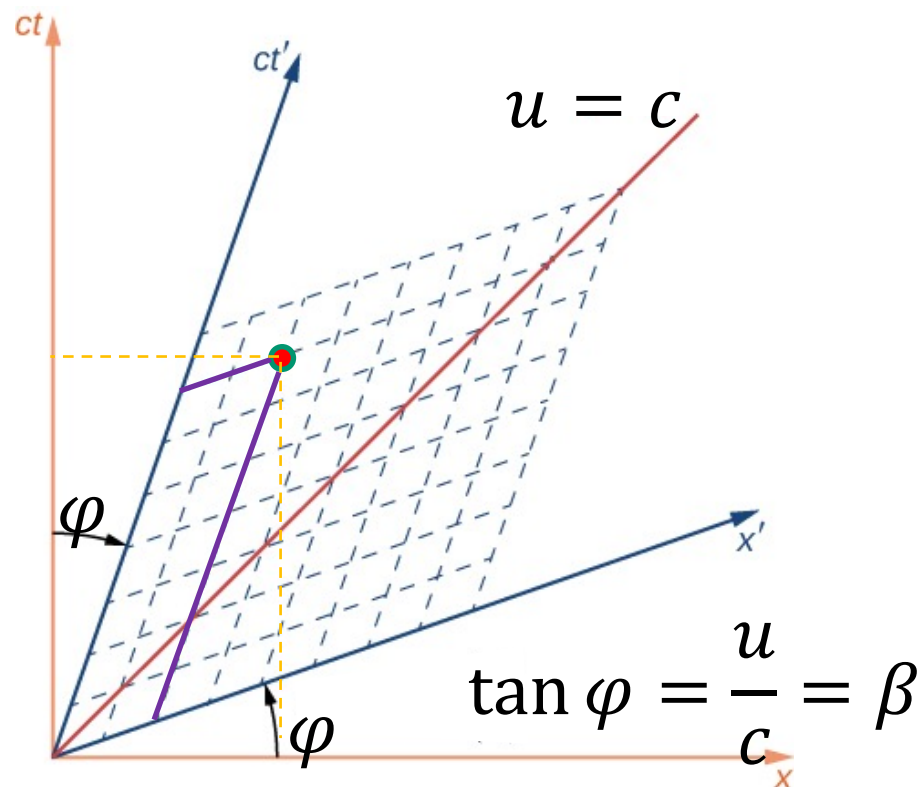
因此，两事件之间的**加速运动的固有时**必定**小于**匀速运动的固有时

$$\Delta\tau(u \neq \text{const.}) < \Delta\tau(u = \text{const.})$$



S' 系相对于惯性系 S 做
匀速运动(速度 u)，
 S' 系原点的世界线是一
条直线，与 S 系 ct 轴的
夹角是 φ 。

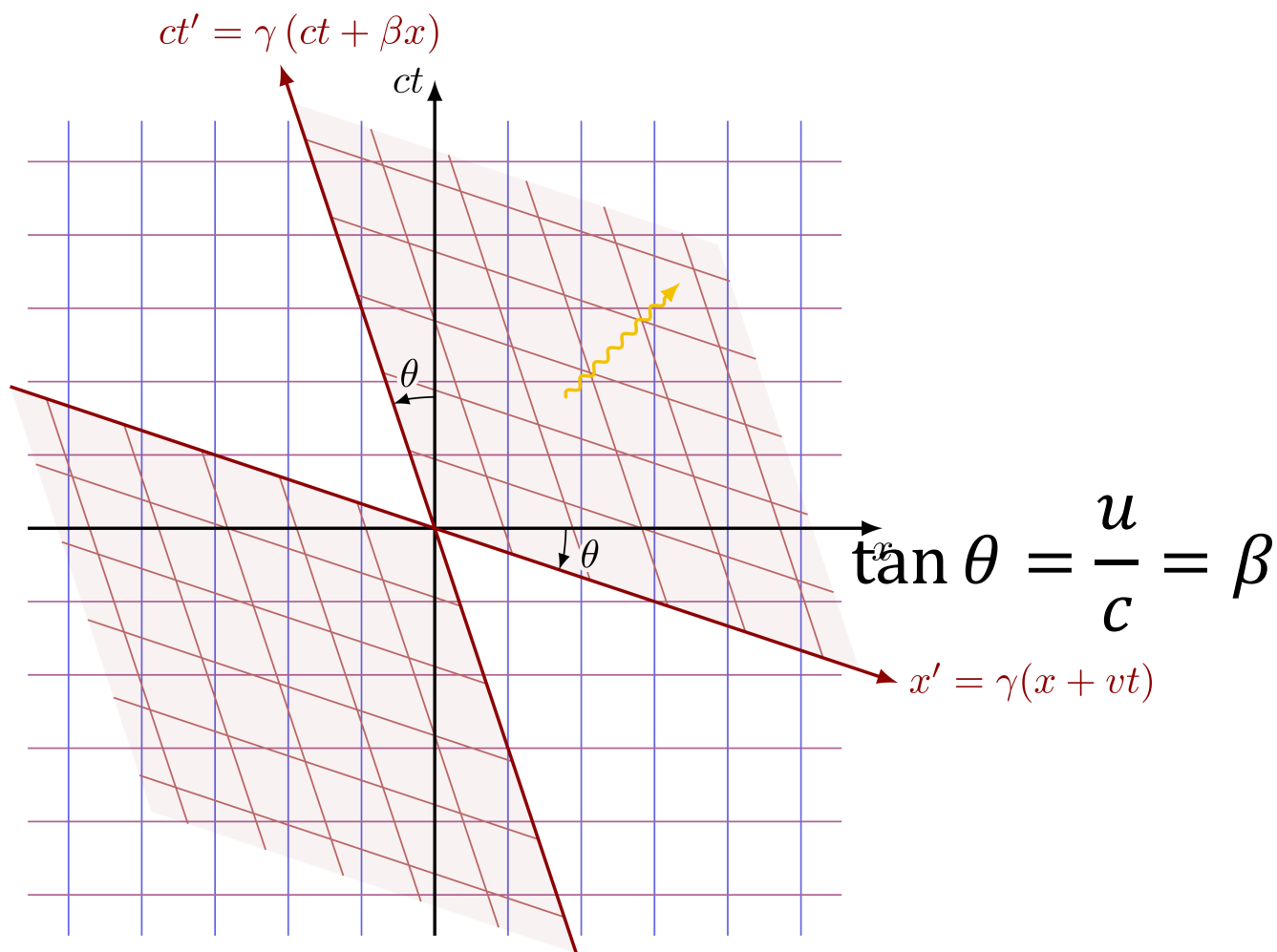
由于光锥位置与坐标
系无关，并且在 S' 系为
 $x' = \pm ct'$ ，因此 x' 轴和
 x 轴的夹角也是 φ 。



S' 系中平行于 x' 轴的线代表 S'
同时不同位置 的事件；

S' 系中平行于 ct' 轴的线代表 S'
中静止的事件；

S' 系相对 S 系速度朝 x 轴反方向运动

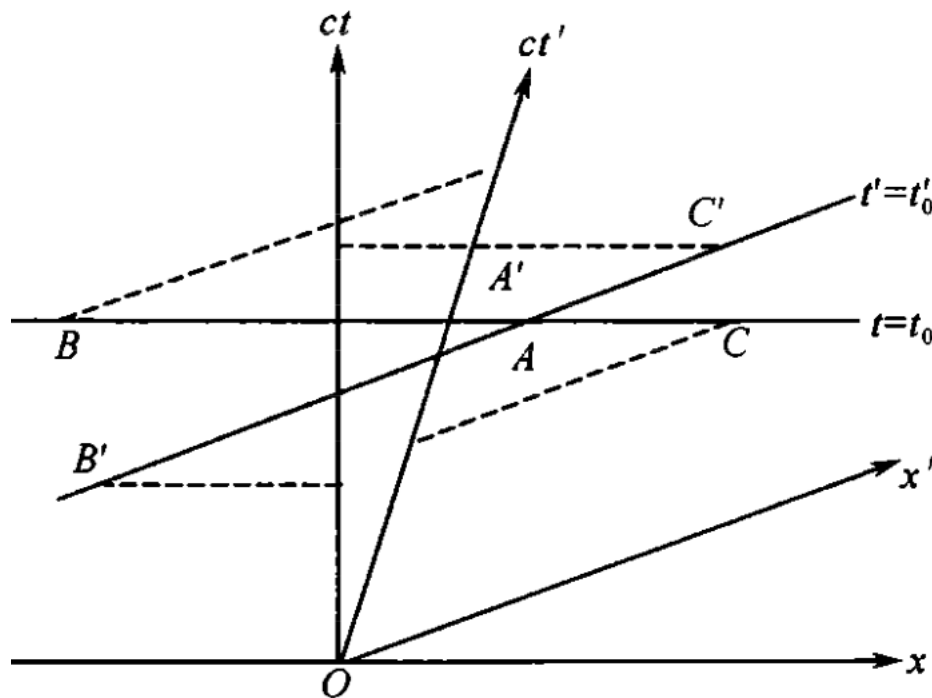


同时的相对性

惯性系 S 中的同时不同地的事件： A ， B ， C 在平行于 x 轴的线上；

S' 系中的同时事件： A' ， B' ， C' 在平行于 x' 轴的线上；

两条线至多有一个交点为 $A(A')$ ，交点是两惯性系对钟的唯一的点，也就是只在此处才能比较两系时钟。



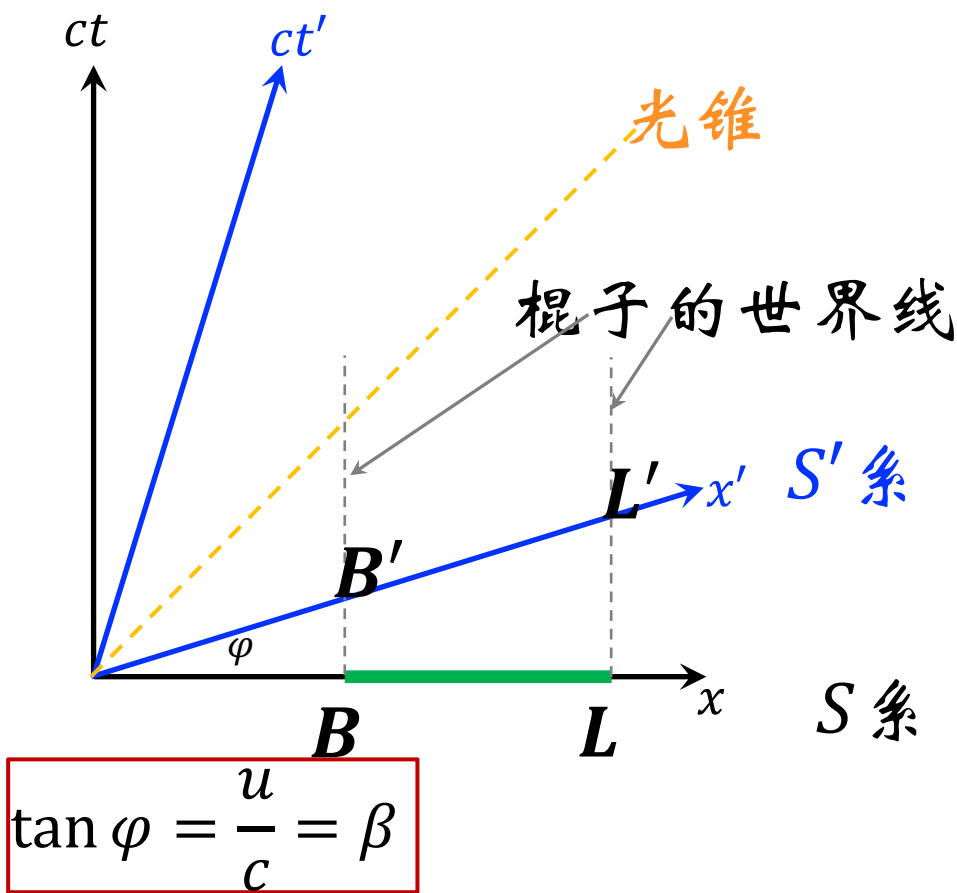
参考 A' ， B' ， C' 在 S' 系中的时间坐标，可以得到

:

S' 系中同时事件 A' ， B' ， C' 在 S 系中看： $t_{C'} > t_{A'} > t_{B'}$

S' 系相对于 S 匀速运动(速度 u)

S 系中静止的棍子长度 $l_0 = BL$



- ❖ S 系中静止的 B 和 L 点的世界线与 t -轴平行
- ❖ S' 系同时的两件事构成的线要和 x' 轴平行!
- ❖ 它们与 x' 轴交于 B' 和 L' , 这两点正是 S' 系的观测者同时记录下棍子的两个端点!

$$l = \frac{B'L'}{\rho(\varphi)} = \frac{BL / \cos \varphi}{1 / \sqrt{\cos 2\varphi}}$$

$$= l_0 \sqrt{1 - \tan^2 \varphi} = l_0 \sqrt{1 - \beta^2}$$

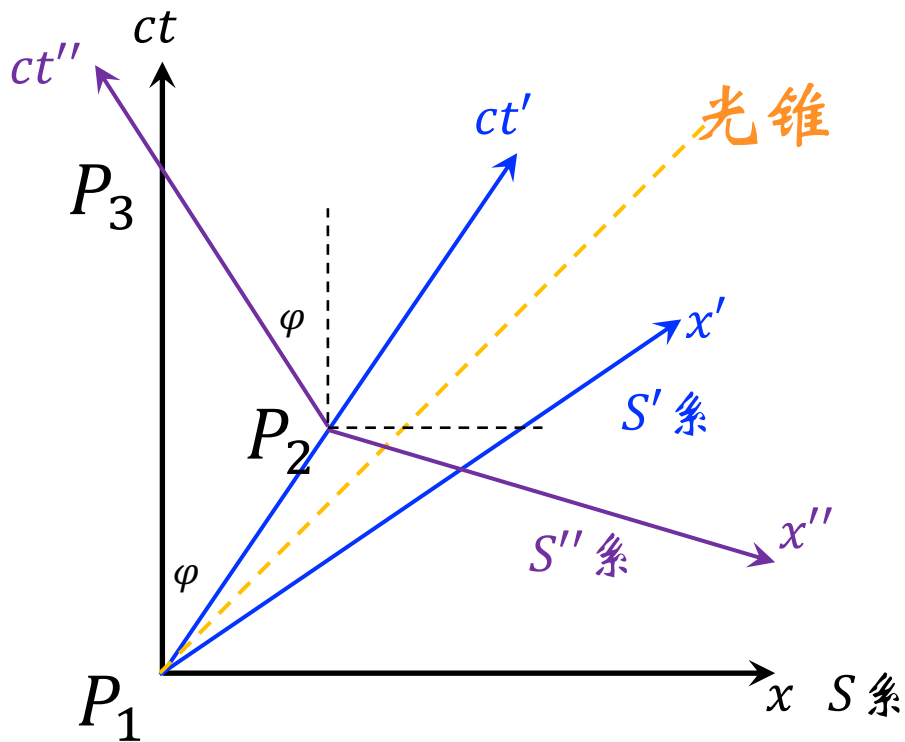
这一缩短在 S 系看来, 是因为同时相对性引起的;

由于 B 的世界线先经过 x' 轴, 而 L 的世界线后经过;

结果 S 系的观测者看到 S' 系观测者先记录下 B' , 后记录下 L' .

双生子佯谬

S' 系(S'' 系)相对于 S 匀速运动速度 u (速度 $-u$)



$$\tan \varphi = \frac{u}{c} = \beta$$

S 系时间间隔: $\Delta t = P_3 P_1$

S' 系时间间隔: $\Delta t'$

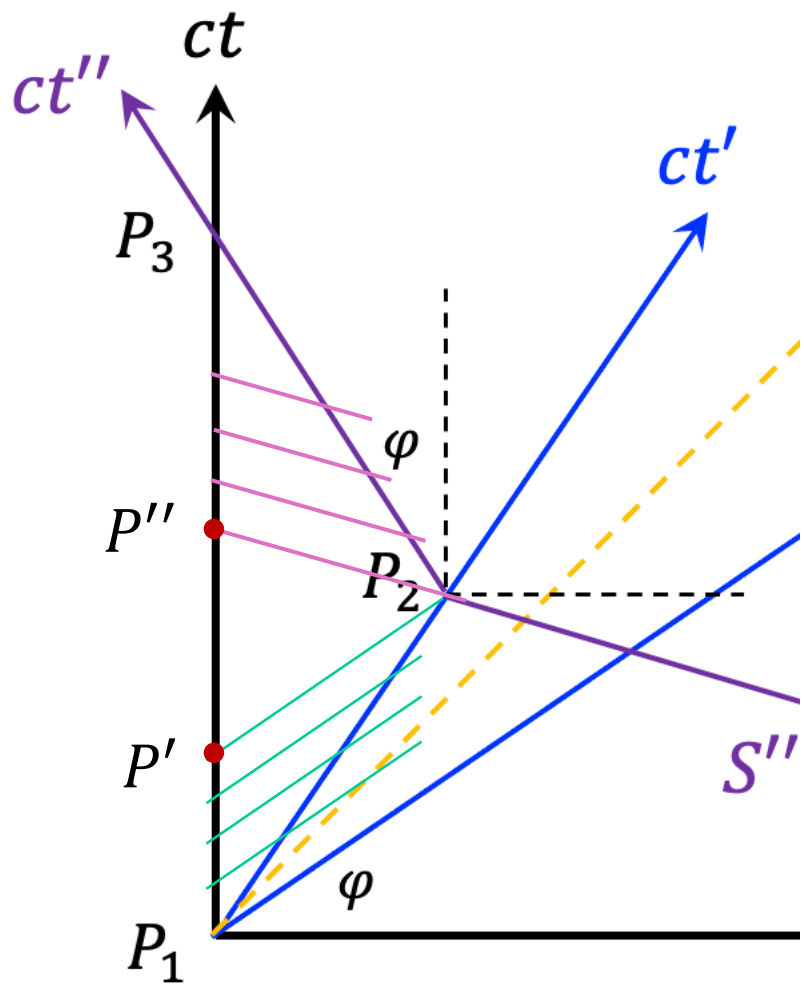
$$\Delta t' = \frac{P_2 P_1}{\rho(\varphi)} + \frac{P_3 P_2}{\rho(\varphi)}$$

$$\begin{aligned} &= \frac{\frac{\Delta t}{2 \cos \varphi}}{1/\sqrt{\cos 2\varphi}} + \frac{\frac{\Delta t}{2 \cos \varphi}}{1/\sqrt{\cos 2\varphi}} \\ &= \Delta t \sqrt{1 - \tan^2 \varphi} = \Delta t \sqrt{1 - \beta^2} \end{aligned}$$

S 系看高速飞船上 S' 系的时间变慢, S' 系飞船上看 S 系的时间也变慢?

首先： S 系看高速飞船上看 S' 系的时间总是变慢

实际上有三个系： S' 系 (S'' 系) 相对于 S 匀速运动速度 u (速度 $-u$)



❖ 飞船 S' 系看地球 S 系的时间开始也是变慢；

❖ 比如飞船到了 P_2 点看到地球时间是 P' 点（变慢了）

❖ 但是飞船经过了 P_2 点后，突然转变了惯性系到 S'' 系

❖ 这时候看地球时间突变成 P'' 也就是突然变老很多！

❖ 之后飞船 S' 系看地球 S 系的时间开始还是变慢的，但是由于中间 $P' - P''$ 的突变，最终看地球时间是变快了！

第六章 振动

§ 6.1 简谐振动 (The simple harmonic oscillation)

§ 6.2 简谐振动方程

§ 6.3 简谐振动能量

§ 6.4 阻尼振动

§ 6.5 受迫振动

§ 6.6 同振动方向同频率简谐振动合成

§ 6.7 同振动方向不同频率简谐振动合成

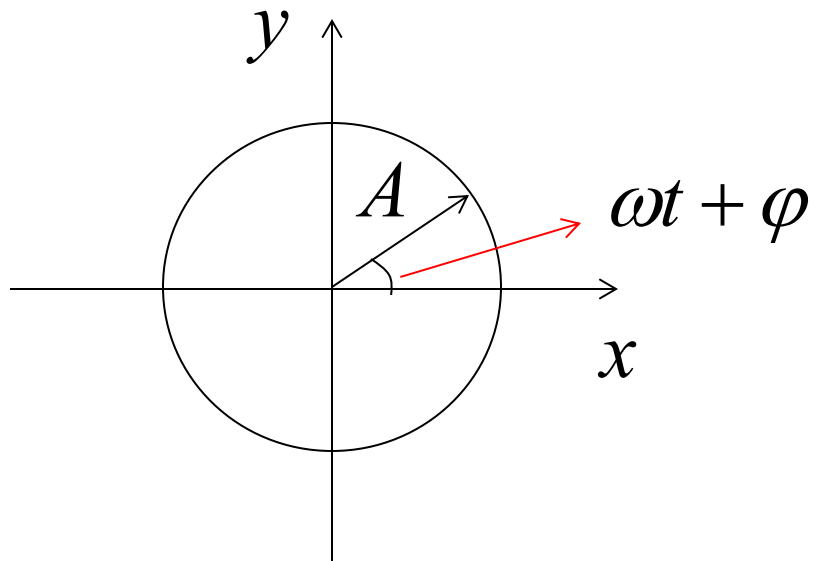
§ 6.8 *频谱分析

§ 6.9 振动方向互相垂直的简谐振动合成

§ 6.10 相图

§ 6.11 *非线性振动及混沌

§ 6.1 简谐振动 (The simple harmonic oscillation)

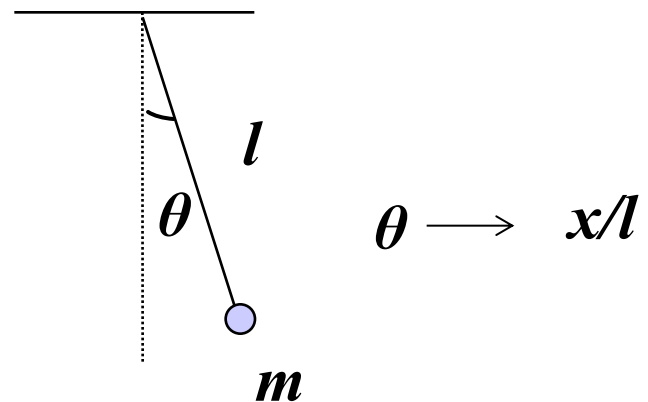
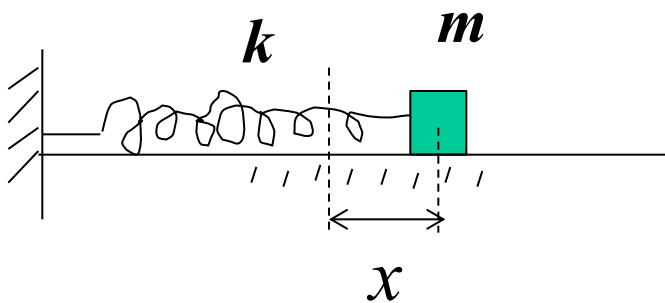


匀速圆周运动

$$x = A \cos(\underbrace{\omega t + \varphi}_{\text{相}})$$

振幅

初相



速度 $v = \dot{x} = -\omega A \sin(\omega t + \varphi)$

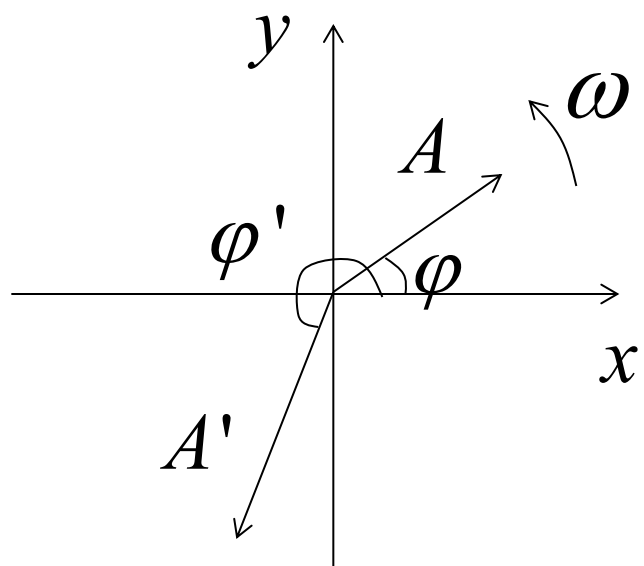
加速度 $a = \ddot{x} = -\omega^2 A \cos(\omega t + \varphi) = -\omega^2 x$

$$\ddot{x} + \omega^2 x = 0$$

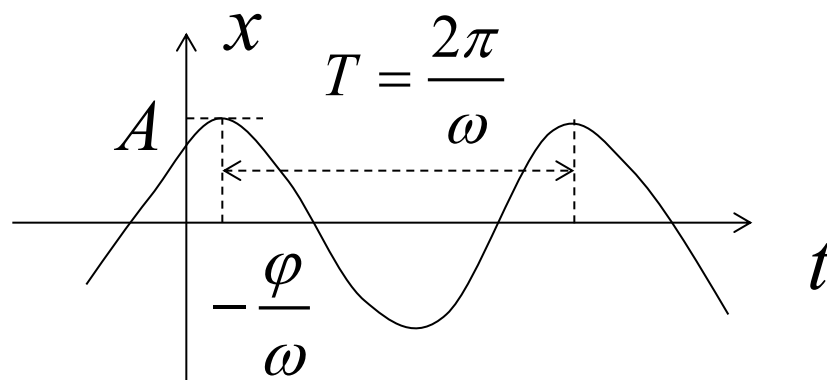
$$x = A \cos(\omega t + \varphi)$$

A, ω, φ 确定则简谐运动确定，角频率由系统本身确定

相量图法



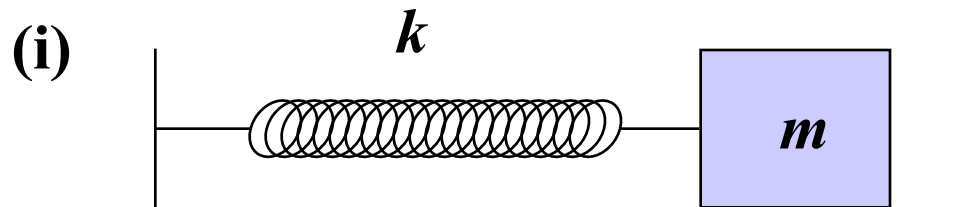
振动曲线



频率相同的简谐运动都可以在这里用几何图表示

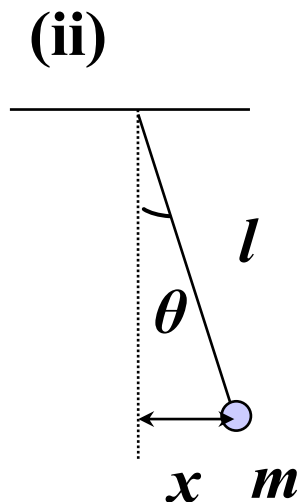


§ 6.2 简谐振动方程



$$F = -kx = m\ddot{x}$$

$$\ddot{x} + \omega^2 x = 0 \quad \omega = \sqrt{\frac{k}{m}}$$

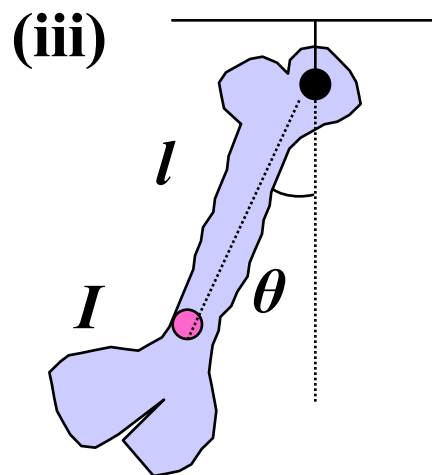


$$F = -mg \sin \theta$$

$$= -mg \frac{x}{l} \approx m\ddot{x}$$

$$\frac{x}{l} \ll 1$$

$$\ddot{x} + \omega^2 x = 0 \quad \omega = \sqrt{\frac{g}{l}}$$



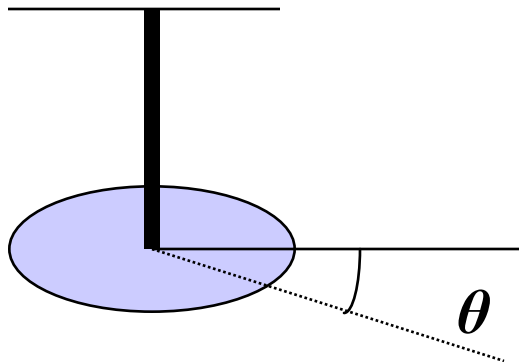
$$\tau = -mgl \sin \theta$$

$$\approx -mgl \theta = I\ddot{\theta}$$

$$\theta \ll 1$$

$$\ddot{\theta} + \omega^2 \theta = 0 \quad \omega = \sqrt{\frac{mgl}{I}}$$

(iv)

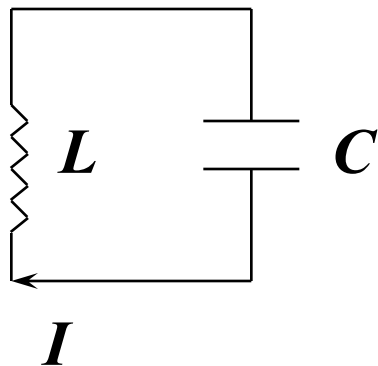


$$\tau = -\kappa\theta = I\ddot{\theta}$$

$$\ddot{\theta} + \omega^2\theta = 0$$

$$\omega = \sqrt{\frac{\kappa}{I}}$$

(v)



$$\mathcal{E} = -L \frac{dI}{dt} = -L \frac{d^2q}{dt^2} = \frac{q}{C}$$

$$\ddot{q} + \omega^2 q = 0 \quad \omega = \sqrt{\frac{1}{LC}}$$

物理量 S

$$\ddot{S} + \omega^2 S = 0$$

简谐振动

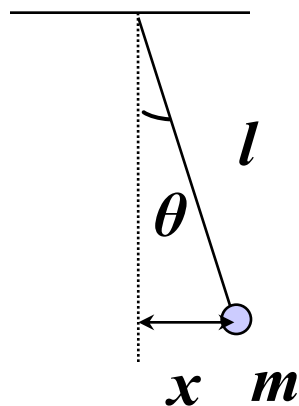
通解:

$$S = A \cos(\omega t + \varphi)$$

相位

一般 A 大于零

例



1. 初始条件: $x|_{t=0} = x_m$ $\dot{x}|_{t=0} = 0$

$$x = A \cos(\omega t + \varphi) \longrightarrow \varphi = 0$$

$$x = x_m \cos \omega t$$

2. 初始条件: $x|_{t=0} = 0$ $\dot{x}|_{t=0} = v_0$

$$A \cos \varphi = 0$$

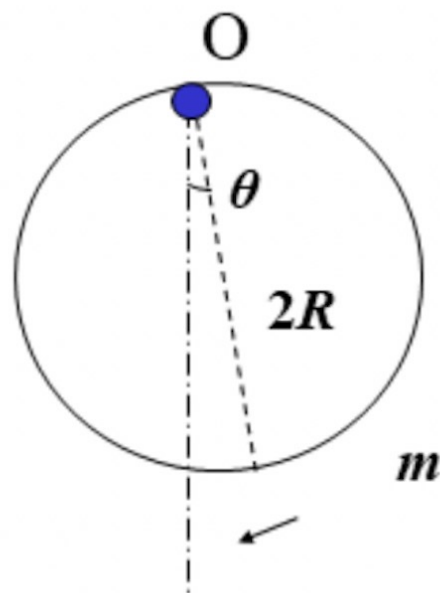
$$v_0 = -\omega A \sin \varphi$$

$$\dot{x} = -\omega A \sin(\omega t + \varphi) \quad \varphi = -\frac{\pi}{2}, \quad v_0 = \omega A$$

$$x = \frac{v_0}{\omega} \cos\left(\omega t - \frac{\pi}{2}\right) = \frac{v_0}{\omega} \sin \omega t$$

圆环半径 R ，质量 m ，挂在固定点 O ，绕 O 点无摩擦小幅度来回转动，其实就是振动，则其振动周期相当于长度为多少的单摆周期？

- ☐ A R
- ☒ B $2R$
- ☐ C $\pi R/2$
- ☐ D 与单摆质量有关

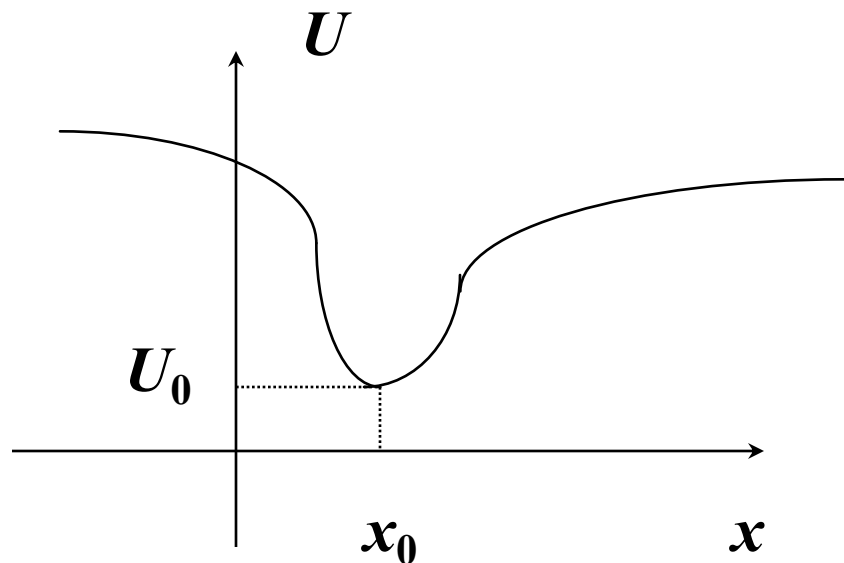


简谐振动

$$F = -kx \quad \text{或} \quad U = \frac{1}{2}kx^2$$

$$|x - x_0| \ll 1$$

$$U(x) = U(x_0) + U'(x_0)(x - x_0) + \frac{1}{2!}U''(x_0)(x - x_0)^2 + \dots$$



$$U \text{ 极小} \quad \begin{aligned} U'(x_0) &= 0 \\ U''(x_0) &> 0 \end{aligned}$$

平移

$$\tilde{x} \rightarrow x$$

$$\tilde{U} \rightarrow U$$

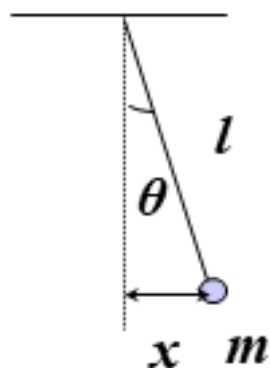
$$U(x) \approx \frac{1}{2} \underline{U''(x_0)} x^2$$

$\nearrow m\omega^2$

$$x - x_0 \rightarrow \tilde{x}$$

$$\tilde{U}(\tilde{x}) = U(x) - U(x_0) \approx \frac{1}{2}U''(x_0)\tilde{x}^2$$

微小振动一般都是简谐振动

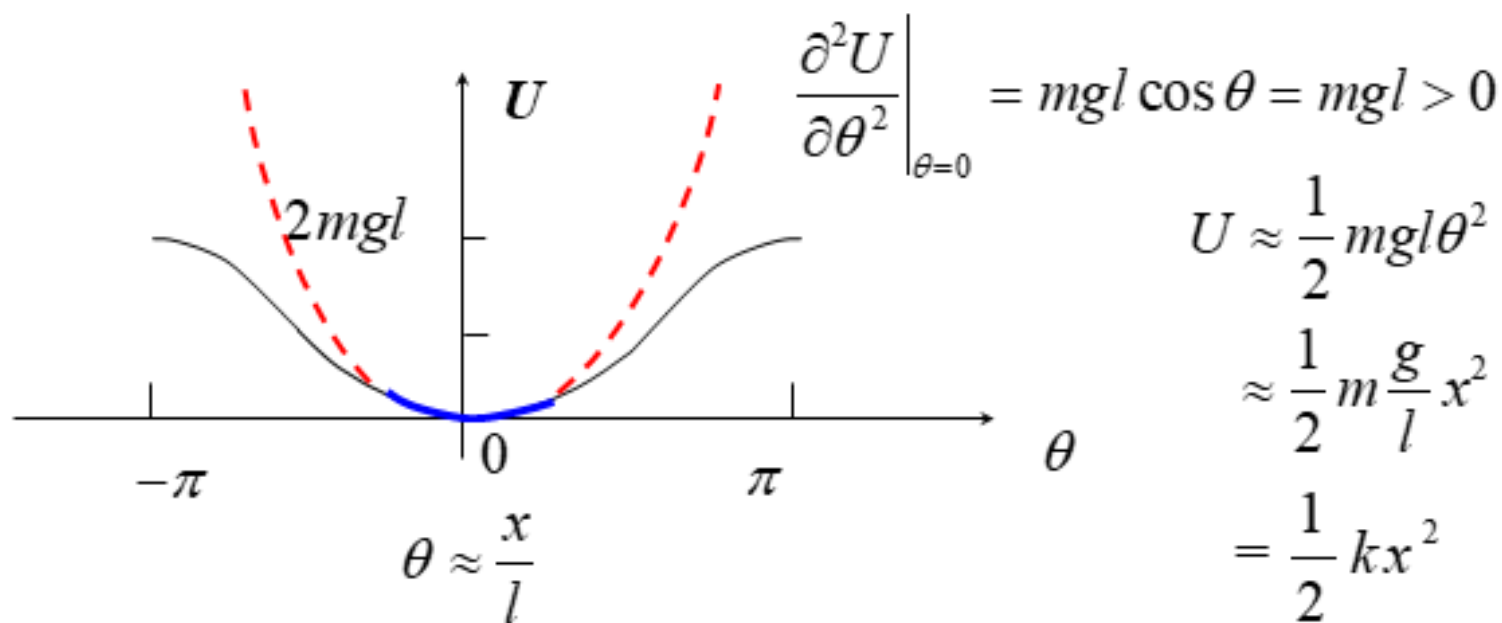


$$U = mgy = mgl(1 - \cos \theta)$$

势能零点 $\theta=0$ $x=0$

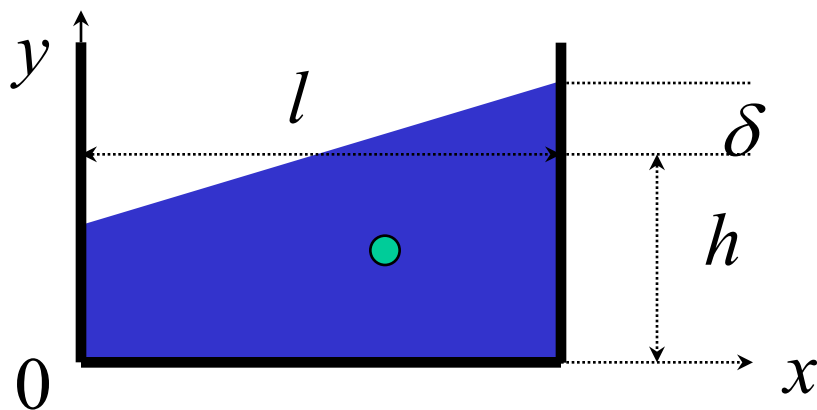
力（矩）平衡点 $\frac{\partial U}{\partial \theta} = mgl \sin \theta = 0$

$$\theta=0$$



大约5度以内

例. 水盆中的晃动模式. 谁能够端一盆水而没有晃动呢?



晃动频率?

解: 假设是微小振动

简谐振动?

势能表达式

$$E_P = mg(y_c - \frac{h}{2})$$

$$x_c = \frac{\delta \frac{2}{3}l + (h - \delta) \frac{1}{2}l}{h} = \frac{1}{2}l + \frac{1}{6}l \frac{\delta}{h}$$

$$y_c = \frac{[\frac{2}{3}\delta + (h - \delta)]\delta + \frac{1}{2}(h - \delta)^2}{h} = \frac{1}{2}h + \frac{1}{6} \frac{\delta^2}{h}$$

$$E_P = mg \frac{1}{6} \frac{\delta^2}{h} = 6mg \frac{h}{l^2} (x_c - \frac{1}{2}l)^2$$

$$= \frac{1}{2} k (x_c - \frac{l}{2})^2 = \frac{1}{2} m \omega^2 (x_c - \frac{l}{2})^2$$

简谐振动 频率 $\omega^2 = 12g \frac{h}{l^2}$

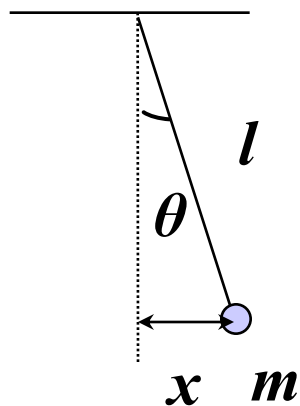
日内瓦湖的平均深度约150m，长度约60km，晃动周期？

$$T = \frac{2\pi}{\omega} = \frac{\pi l}{\sqrt{3gh}} \approx 47 \text{ min.}$$

实际观察到的周期约1小时
观察到的振幅大于5 feet~1.5m



§ 6.3 简谐振动能量



动能 $E_K = \frac{1}{2} m \dot{x}^2 = \frac{1}{2} m \omega^2 A^2 \sin^2(\omega t + \varphi)$

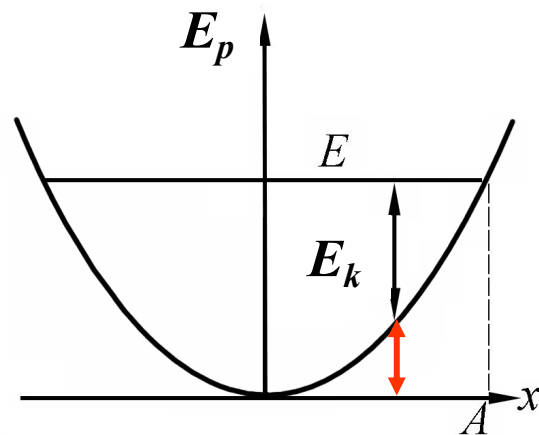
势能 $E_P = mgl(1 - \cos \theta) = 2mgl \sin^2 \frac{\theta}{2}$

$$l^2 \sin^2 \frac{\theta}{2} \approx \frac{x^2}{4}$$

$$E_P = \frac{1}{2} m \frac{g}{l} x^2 = \frac{1}{2} m \omega^2 x^2 = \frac{1}{2} m \omega^2 A^2 \cos^2(\omega t + \varphi)$$

$$E = E_K + E_P = \frac{1}{2} m \omega^2 A^2 = \text{const.}$$

$$E_P = \frac{1}{2} m \omega^2 x^2$$



时间平均

$$\langle \cos^2(\omega t + \varphi) \rangle = \frac{1}{T} \int_0^T \cos^2(\omega t + \varphi) dt = \frac{1}{2}$$

$$\langle E_P \rangle = \frac{1}{4} m \omega^2 A^2 = \langle E_K \rangle = \frac{1}{2} E$$

或

$$\begin{cases} E = \text{const.} \\ \bar{E}_p = \bar{E}_k = \frac{1}{4} k A^2 \propto A^2 \end{cases}$$



简谐振动的判据

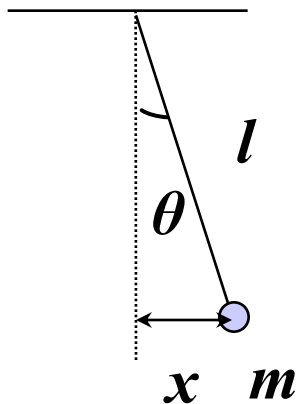
1. 受力特征 $F = -kx$

2. 微分方程 $\ddot{x} + \omega^2 x = 0$

3. 能量特征
$$\begin{cases} E = \text{const.} \\ \bar{E}_p = \bar{E}_k = \frac{1}{4}kA^2 \propto A^2 \end{cases}$$

以上任一条成立即可判定为简谐振动

§ 6.4 阻尼振动



$$F = -mg \frac{x}{l} = -m\omega_0^2 x \quad f \propto -\dot{x}$$

$$-m\omega_0^2 x - \gamma \dot{x} = m\ddot{x}$$

$$\boxed{\ddot{x} + 2\beta \dot{x} + \omega_0^2 x = 0} \quad \beta > 0$$

$$x \rightarrow e^{\alpha t}$$

$$\alpha^2 + 2\beta\alpha + \omega_0^2 = 0$$

$$\alpha = -\beta \pm \sqrt{\beta^2 - \omega_0^2}$$

$$x \rightarrow e^{\alpha t} \quad \alpha = -\beta \pm \sqrt{\beta^2 - \omega_0^2}$$

$$(1) \beta < \omega_0, \quad \alpha = -\beta \pm i\omega$$

$$(2) \beta = \omega_0, \quad \alpha = -\beta$$

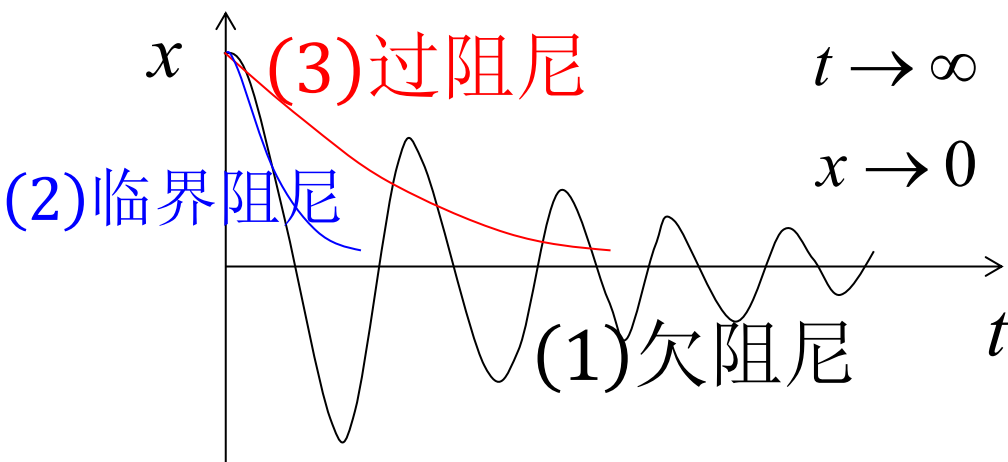
$$(3) \beta > \omega_0, \quad \alpha = -\beta \pm \omega$$

$$\omega = \sqrt{|\beta^2 - \omega_0^2|}$$

$$(1) x = Ae^{\alpha_1 t} + Be^{\alpha_2 t} \quad e^{i\omega t}, e^{-i\omega t} \rightarrow \sin \omega t, \cos \omega t$$

$$(2) x = u(t)e^{-\beta t}, \text{ 代入原方程求 } u(t)$$

$$(3) (Ae^{-\omega t} + Be^{\omega t})e^{-\beta t}$$



$$(1) Ae^{-\beta t} \cos(\omega t + \varphi)$$

$$(2) A(1 + \frac{t}{\tau})e^{-\beta t}$$

$$(3) Ae^{-(\beta-\omega)t} (Be^{-2\omega t} + 1)$$

欠阻尼振动系统，其振动周期随着阻尼的增大

A

增大

B

减小

C

不变

D

不一定

提交

品质因数 Q 值

欠阻尼

振动能量 $W(t) \approx \frac{1}{2} m \omega^2 A^2 e^{-2\beta t}$

阻尼特征时间 $\tau = \frac{1}{2\beta} \quad (1 \rightarrow e^{-1})$

$2\pi \times$ 振动次数

$$Q = 2\pi \frac{\tau}{T} = \frac{\omega}{2\beta}$$

一个周期损耗能量 $W_R(t) \approx 2\beta T W(t)$

$$\text{品质因数 } Q = 2\pi \times \frac{\text{储存能量}}{\text{一个周期损耗能量}}$$

损耗越小
 Q 值越大



§ 6.5 受迫振动

$$-m\omega_0^2 x - \gamma \dot{x} + H \cos \omega t = m\ddot{x}$$

驱动力

$$\ddot{x} + 2\beta \dot{x} + \omega_0^2 x = h \cos \omega t$$

固有频率

非齐次方程

暂态解(通解) 稳态解(特解)

↓
0

时间长了以后,
随驱动频率振动

$$x = A \cos(\omega t + \varphi)$$

$$(\omega_0^2 - \omega^2) A \cos(\omega t + \varphi) - 2\beta A \omega \sin(\omega t + \varphi) = h \cos \omega t$$

$$(\omega_0^2 - \omega^2) A \cos \varphi - 2\beta A \omega \sin \varphi = h$$

$$-(\omega_0^2 - \omega^2) A \sin \varphi - 2\beta A \omega \cos \varphi = 0$$

$$A = \frac{h}{(\omega_0^2 - \omega^2) \cos \varphi - 2\beta\omega \sin \varphi} \quad \tan \varphi = \frac{2\beta\omega}{\omega^2 - \omega_0^2}$$

$$= \frac{h}{\sqrt{(\omega^2 + 2\beta^2 - \omega_0^2)^2 + 4\beta^2(\omega_0^2 - \beta^2)}}$$

弱阻尼情况 $\beta = \delta \ll \omega_0$

$$A = \frac{h}{\sqrt{(\omega^2 - \omega_\gamma^2)^2 + 4\gamma^2}}$$

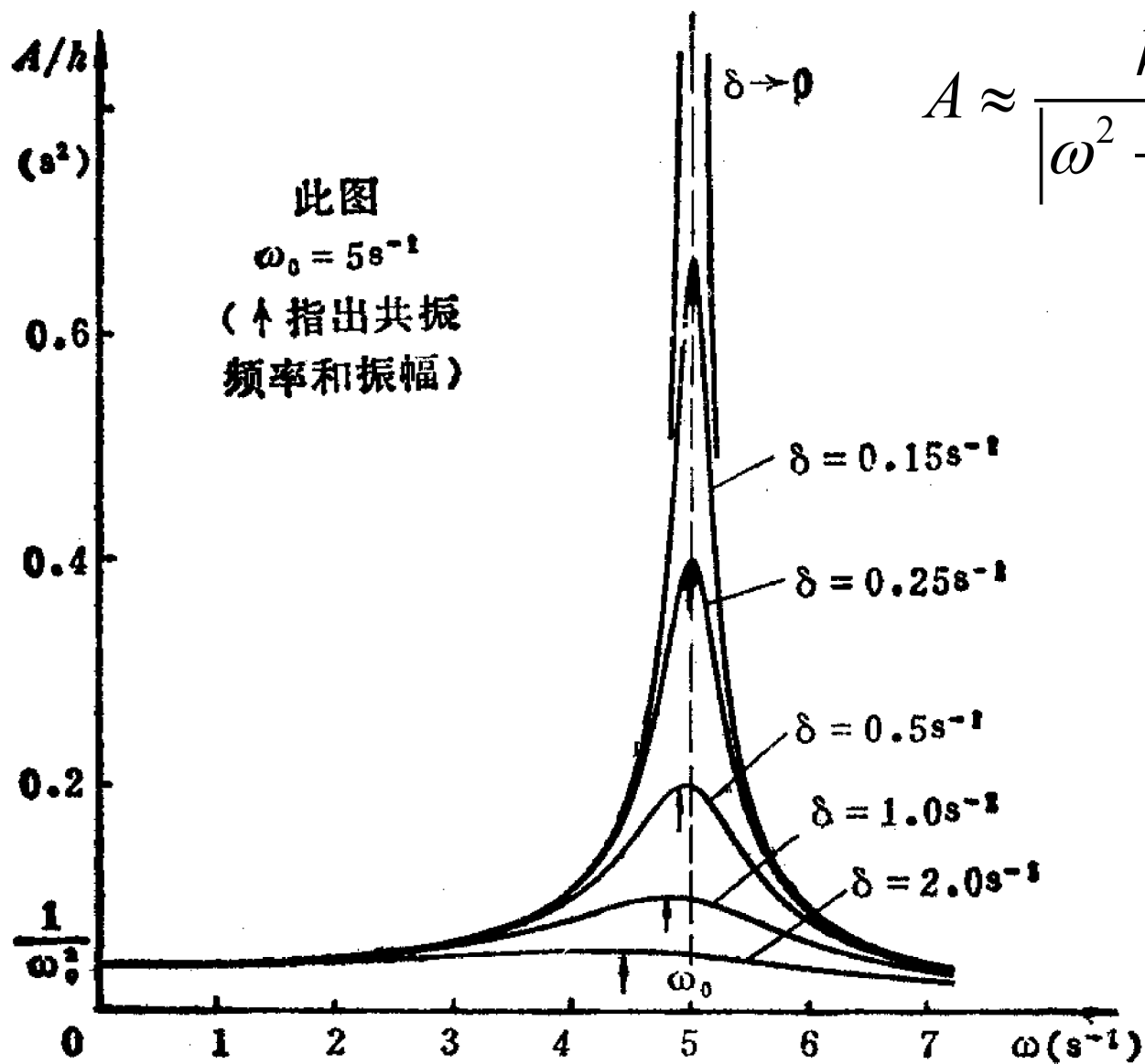
共振

$$\omega = \omega_\gamma \approx \omega_0$$

振幅最大

$$A_{\max} = \frac{h}{2\gamma}$$

共振耦合摆实验



$$A \approx \frac{h}{|\omega^2 - \omega_0^2|}$$

共振(曲线)
 Resonance

不同阻尼的几条共振曲线



1940年华盛顿的塔
科曼大桥建成



同年7月的一场大
风引起桥的共振,
使桥摧毁.

经过风风雨雨后

东风汽车
加油
向未来

实际简谐受迫振动系统，总是有阻尼的。当驱动力频率与系统固有振动频率相同时，系统振动与驱动力相比

- ☐ A 同相
- ☒ B 相位滞后 $\pi/2$
- ☐ C 相位滞后 π
- ☐ D 相位超前 $\pi/2$
- ☐ E 相位超前 π